

## ارزیابی عملکرد راکتور بیهوازی با بستر سیال (AMBR) در تجزیه بیولوژیکی پرکلرواتیلن (PCE)

مریم فرجی<sup>۱</sup>، محمد مهدی امین<sup>۲</sup>، فریبوز مؤمن بیک<sup>۳</sup>

- کارشناس ارشد مهندسی بهداشت محیط، مرکز تحقیقات محیط زیست، دانشگاه علوم پزشکی اصفهان، اصفهان، ایران
- دانشیار، مرکز تحقیقات محیط زیست، دانشگاه علوم پزشکی اصفهان، اصفهان، ایران (نویسنده مسئول)، تلفن: ۰۳۱۱-۷۹۲۲۶۸۶، ایمیل: amin@hlth.mui.ac.ir
- استادیار، گروه شیمی، دانشکده علوم، دانشگاه اصفهان، اصفهان، ایران

### چکیده

**بیان مسئله:** پرکلرواتیلن (PCE) از دسته هیدروکربن‌های آلیاتیک کلردار است که کاربرد گسترده‌ای در صنایع دارد. هدف از این مطالعه تعیین قابلیت تجزیه بیولوژیکی PCE بوسیله یک راکتور AMBR است. غلظت PCE در این مطالعه بیشتر از مقادیر به کار رفته در سایر مطالعات مشابه است و راکتور AMBR نیز تاکنون برای تجزیه بیولوژیکی PCE مورد استفاده قرار نگرفته است.

**مواد و روشها:** این مطالعه یک مطالعه تجربی آزمایشگاهی بود. یک راکتور AMBR در مقیاس آزمایشگاهی به حجم کل ۱۰ لیتر با ۴ محفظه برای تجزیه بیولوژیکی پرکلرواتیلن از سویستره سنتیک مورد استفاده قرار گرفت. کارایی راکتور طی ۴ مرحله از بارگذاری PCE معادل ۳/۷۵ mgPCE/L.d تا ۷۵ mgPCE/L.d مورد بررسی قرار گرفت. نتایج حاصل از مطالعه با نرم افزار Excel مورد تجزیه و تحلیل قرار گرفت.

**نتایج:** بهترین بازده حذف COD به میزان ۹۸٪ در بارگذاری آلی COD معادل ۳/۱ gCOD/L.d بدست آمد. برای حذف PCE نیز بالاترین بازده به میزان ۹۹/۸٪ در بارگذاری PCE معادل ۳/۵ mgPCE/L.d حاصل شد. میانگین بازده حذف PCE و COD در کل دوره فعالیت راکتور به ترتیب برابر ۹۱/۴٪ و ۹۹/۵٪ بود.

**نتیجه گیری:** نتایج نشان داد که راکتور AMBR، در صورت انجام مطالعات تکمیلی در مقیاس کامل و استفاده از پساب صنعتی واقعی آلووده به پرکلرواتیلن یک روش ساده، کارآمد و قابل اطمینان برای تصفیه پسابهای صنعتی آلووده به این ترکیب می‌باشد.

**کلید واژه‌ها:** پرکلرواتیلن (PCE)، پسابهای صنعتی، راکتور بی‌هوازی با بستر سیال (AMBR)

وصول مقاله: ۹۱/۷/۱۱ اصلاحیه نهایی: ۹۱/۲/۲۸ پذیرش: ۹۱/۳/۲۳

### مقدمه

probably و سرطان زای نوع ۲A (carcinogenic to humans) معرفی کرده است (۲). این هیدروکربن آلیاتیک کلردار به دلیل خاصیت الکترونگاتیو بالایی که دارد نسبت به فرآیندهای تجزیه

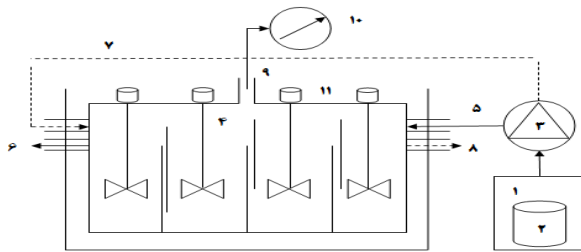
پرکلرواتیلن (Perchloroethylene) با نام اختصاری PCE به طور گسترده‌ای در خشکشویی‌ها، صنایع فلزی و نساجی به کار می‌رود (۱). آژانس بین‌المللی تحقیقات روی سرطان، این ترکیب را از دسته آلاندنهای دارای

استفاده از درخت صنوبر برای تجزیه این ترکیب در آبهای زیرزمینی مورد استفاده قرار گرفت که غلظت اولیه PCE در آب بین ۷ تا  $14 \text{ mg/L}$  متغیر بود (۹). در این تحقیق از یک راکتور بیهوازی با بستر سیال (AMBR) برای تجزیه بیولوژیکی PCE استفاده شد. راکتور AMBR مشابه راکتور ABR از چند محفظه بهم چسبیده تشکیل شده است با این تفاوت که در هر محفظه آن به منظور یکنواختی بیشتر بستر لجن، یک اختلاط دهنده مکانیکی تعییه می-گردد. برای جلوگیری از تجمع بیومس در آخرین محفظه، جهت جریان ورودی و خروجی راکتور به صورت دوره ای تغییر می کند (۱۰). غلظت PCE در این مطالعه بیشتر از مقادیر به کار رفته در سایر مطالعات مشابه است و راکتور AMBR نیز تاکنون برای تجزیه بیولوژیکی PCE مورد استفاده قرار نگرفته است. هدف از این مطالعه تعیین قابلیت تجزیه بیولوژیکی PCE بوسیله یک راکتور AMBR است.

### روش بررسی

**مشخصات پایلوت راکتور بی هوازی با بستر سیال (AMBR)**  
در این مطالعه که یک مطالعه تجربی- آزمایشگاهی بود از یک پایلوت شامل مخزن تغذیه، پمپ تزریق دیافراگمی (اتاترون ایتالیا) با  $5 \text{ lit/hr}$  (قابل تنظیم) و فشار  $10 \text{ bar}$  و راکتور بیهوازی با بستر سیال (AMBR) (با ابعاد داخلی، طول  $43$ ، ارتفاع  $23/5$  و عرض  $10 \text{ سانتیمتر}$ ) با حجم مفید  $10 \text{ لیتر}$  دارای  $4$  محفظه با حجم یکسان استفاده شد که مسیر ورود و خروج جریان  $3$  روز یکبار تغییر داده می شد. شکل  $1$  نمای شماتیک پایلوت راکتور AMBR را نشان می دهد. به منظور ایجاد اختلاط در راکتور،  $4$  اختلاط دهنده با دور  $15 \text{ rpm}$  با زمان کار کرد و خاموشی هر یکی به مدت  $15$  دقیقه تعییه گردید.

بیولوژیکی هوازی مقاوم بوده و تحت شرایط بیهوازی، از طریق هالوژن زدایی احیایی (Dehalorespiration) به ترتیب کلرواتن (TCE)، ایزومرهای دی کلرواتن (DCE)، وینیل کلراید (VC) و اتن تبدیل می شود (۳). "هو و همکارش" تأثیر افزایش HRT را بر عملکرد راکتور PCE تجزیه کننده UASB، در شرایط بارگذاری PCE و بارگذاری آلی COD (OLR) به ترتیب معادل  $3125 \text{ mgPCE/L.d}$  و  $3 \text{ mgPCE/L.d}$  لاكتات و ساکاروز مورد مطالعه قرار دادند (۳). در مطالعه دیگری، "پراکاش و همکارش"، هالوژن زدایی PCE را در حضور استات سدیم، متانول و استون به عنوان منبع کربن توسط راکتور UASB بررسی کردند (۴). در تحقیقی توسط "هیرل و همکارش"، کلرزدایی احیایی در غلظت ورودی معادل  $10/5 \text{ mg/L}$  با استفاده از راکتور بیوفیلم بیهوازی پر و خالی شونده به طور متواتی (AnSBBR) در حضور لاكتات و استات مورد ارزیابی قرار گرفت (۵). در مطالعه "چو و همکارش"، قابلیت تجزیه پذیری PCE در محدوده غلظت  $26 \text{ mg/L}$  تا  $8/2 \text{ mg/L}$  توسط فرآیند بیهوازی بستر گسترشده با فیلم چسبیده (AAFEB) در درجه حرارت  $C^{35^0}$  و در حضور ساکاروز به عنوان دهنده الکترون مورد آزمایش قرار گفت (۶). علاوه بر روش‌های راکتوری، هالوژن زدایی PCE به روش‌های دیگری نیز انجام شده است. "يو و همکارش" هالوژن زدایی PCE موجود در آبهای زیرزمینی را با  $5$  روش آهن صفر ظرفیتی (zero-valent iron)، روی صفر ظرفیتی (zero-valent zinc)، اجتماع باکتریهای بیهوازی، ترکیب آهن پودری و اجتماع باکتریهای بیهوازی و ترکیب روی پودری و اجتماع باکتریهای بیهوازی مورد بررسی قرار دادند (۷). "سائز و همکاران" به بررسی روش تجزیه الکتروشیمیایی PCE در محیط‌های آبی با استفاده از کاتیونها و آنیونهای مختلف پرداختند (۸). روش (اصلاح توسعه گیاهان) توسعه "جیمز و همکاران" با



شکل ۱. نمای شماتیک پایلوت راکتور AMBR

۱. یخچال نگهداری سوبیستره، ۲. مخزن تغذیه، ۳. پمپ تزریق دیافراگمی، ۴. راکتور بیهوازی با بستر سیال، ۵ و ۷. ورودی جریان، ۶ و ۸ خروجی جریان، ۹. کازمتر، ۱۰. میکسر، ۱۱. مسیر خروج بیوگاز.

ترکیبات واسطه در پساب خروجی راکتور به روش گاز کروماتوگرافی – اسپکتروفوتومتری جرمی مورد آزمایش قرار گرفت. برای تعیین PCE جذب شده روی بیومس پس از استخراج PCE با از غلظت Cyclohexane/Dichloromethane (۱۳) آن به روش GC-MS آنالیز شد. در خصوص سنجش غلظت PCE در فاز گازی مسیر خروج بیوگاز به مدت ۱۰ روز در بارگذاری PCE برابر  $75 \text{ mgPCE/L.d}$  به سطونی از کرین فعال گرانوله به عمق ۵۰ سانتیمتر متصل گردید. آنالیز PCE به روش آزمون NIOSH 1003 مخصوص آنالیز هیدروکربن های کلردار انجام شد (۱۴). در پایان داده های حاصل از آزمایشات با نرم افزار Excel مورد تجزیه و تحلیل قرار گرفت.

## نتایج

### راه اندازی و بهره برداری از راکتور

برای مشاهده عملکرد راکتور راندمان حذف COD و PCE، قلیائیت و pH سنجش شد. در جداول ۱ و ۲ نتایج حاصل از عملکرد راکتور در دوره راه اندازی و بهره برداری به تفکیک ارائه شده است.

### راه اندازی و بهره برداری راکتور

با تلچیح ۵ لیتر لجن تهیه شده از هاضم بیهوازی تصفیه خانه فاضلاب شمال اصفهان، بار گذاری لجن معادل  $20 \text{ VSS / L}$  شد. در مرحله راه اندازی سوبیستره سنتیک از سه اسید چرب فرار با زنجیره کوتاه (استیک)، پروپیونیک و بوتیریک) به عنوان سوبیستره کمکی و نوترینت های لازم تشکیل می شد. زمان ماند هیدرولیکی (HRT) در کل دوره فعالیت راکتور ۳۲ ساعت بود. در مرحله بهره برداری سوبیستره ورودی علاوه بر مخلوط سه اسید چرب و نوترینت ها، شامل COD PCE نیز بود. در دوره فعالیت راکتور، سوبیستره ورودی به راکتور از  $1000 \text{ mg/L}$  تا  $4000 \text{ mg/L}$  با راگذاری PCE از  $375 \text{ mgPCE/L.d}$  به  $75 \text{ mgPCE/L.d}$  افزایش یافت. متوسط غلظت PCE موجود در پساب خشکشویی ها  $0.7 \text{ mg/L}$  است (۱۱). در خصوص غلظت این ترکیب در سایر صنایع اطلاعاتی بدست نیامد.

نمونه برداری و آنالیز آزمایشگاهی آزمایشات فیزیکی و شیمیایی بر اساس روش کتاب روش های استاندارد در آزمایشات آب و فاضلاب (Standard Methods, 2005) انجام شد (۱۲). غلظت پرکلرواتین (PCE) در نمونه های ورودی و خروجی راکتور و غلظت

جدول ۱. نتایج حاصل از عملکرد راکتور AMBR در دوره راه اندازی و شرایط پایدار

pH (محفظه ۱ تا ۴)	قیلایت داخل راکتور (mg/L)	راندمان حذف COD (درصد)	COD بارگذاری آبی (gCOD/L.d)	روزهای راهبری	نمره
۶/۶-۷/۹	۸۴۵±۳۵	۶۵±۲۸	۰/۸±۰/۰۵	۱-۴۵	۱
۶/۹-۷/۸	۱۰۷۰±۱۸۴	۹۴±۳	۱/۵±۰/۰۳	۴۶-۸۰	۲
۶/۹-۷/۹	۱۷۷۷±۱۱۷	۹۷±۰/۵	۲/۳±۰/۰۳	۸۱-۱۱۰	۳
۶/۷-۷/۹	۲۴۳۹±۳۲۱	۹۵±۱	۳±۰/۰۳	۱۱۱-۲۱۰	۴

دوره راه اندازی      شرایط پایدار

جدول ۲. نتایج حاصل از عملکرد راکتور AMBR در دوره بهره برداری

pH (محفظه ۱ تا ۴)	قیلایت داخل راکتور (mg/L)	راندمان حذف COD (درصد)	راندمان حذف PCE (درصد)	PCE ورودی (mg/L)	روزهای راهبری	نمره
۷/۲-۷/۸	۲۵۵۶±۶۲	۹۶±۳/۰	۹۹/۰	۵	۲۱۱-۲۳۰	۵
۷/۵-۸/۲	۳۰۱۵±۷	۹۸±۰/۳	۹۹/۷	۲۰	۲۳۱-۲۵۰	۶
۷/۱-۸/۶	۳۰۴۴±۱۱	۹۸±۰/۳	۹۹/۸	۵۰	۲۵۱-۲۷۰	۷
۷/۴-۸/۶	۳۲۹۰±۹۹	۹۷±۰/۴	۹۹/۵	۱۰۰	۲۷۱-۲۹۰	۸

### PCE و COD حذف

اساس میانگین حذف PCE در راکتور AMBR مورد مطالعه ۹۹/۵٪ بdst آمد. ترکیبات واسطه شامل تری کلروفاتیلن (TCE) و ایزومرهای دی کلرو اتیلن (DCES) نیز در خروجی راکتور در غلظت بسیار کم در حد میکروگرم در لیتر شناسایی شد. غلظت کلیه ترکیبات آبی شامل PCE و ترکیبات واسطه شامل تری کلروفاتیلن (TCE) و ایزومرهای دی کلرو اتیلن (DCES) را در پساب خروجی راکتور نشان می دهد.

در کل دوره راه اندازی و ایجاد شرایط پایدار، راندمان حذف COD برای محفوظه ۱ تا ۴ به ترتیب ۸۴/۱۱، ۵/۰۵ و ۴/۰۵ و میانگین حذف OLR و COD در این دوره به ترتیب ۰/۸۹ و ۰/۲ gCOD/L.d بود. میزان OLR بهینه، به میزان ۰/۲ gCOD/L.d و در روزهای ۸۱-۱۱۰ بدست آمد. بیشترین راندمان حذف COD در اولین محفوظه صورت گرفت که این محفوظه در مرحله راه اندازی نقش بیشتری در کاهش COD داشت. راندمان کلی حذف PCE در مراحل ۵ تا ۸ به ترتیب ۹۹/۸، ۹۹/۷، ۹۹/۵ و ۹۹/۰٪ و بر این

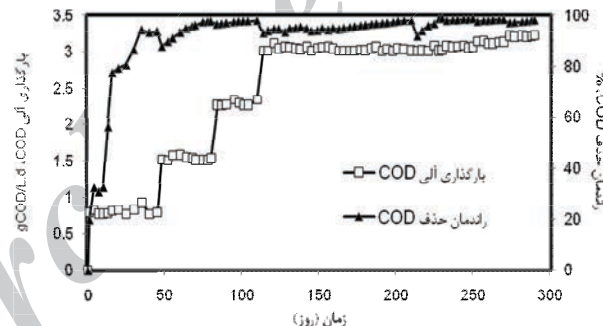
جدول ۳. غلظت PCE و ترکیبات واسطه

مراحله ۸	مراحله ۷	مراحله ۶	مراحله ۵	مراحل بهره برداری
۱۰۰	۵۰	۲۰	۵	(mg/l) PCE ورودی
.۰/۵	.۰/۱	.۰/۰۵	.۰/۰۵	(mg/l) خروجی PCE
<.۰/۰۵	<.۰/۰۵	<.۰/۰۵	<.۰/۰۵	(mg/l) خروجی TCE
<.۰/۰۵	<.۰/۰۵	<.۰/۰۵	<.۰/۰۵	(mg/l) خروجی 1,1-DCE
<.۰/۰۵	<.۰/۰۵	<.۰/۰۵	<.۰/۰۵	(mg/l) trans-1,2-DCE خروجی
<.۰/۰۵	<.۰/۰۵	<.۰/۰۵	<.۰/۰۵	(mg/l) cis-1,2-DCE خروجی
ND	ND	ND	ND	(mg/l) VC خروجی

ND : غیر قابل تشخیص

راندمان حذف COD پس از ایجاد شرایط پایدار در راکتور برابر ۹۶/۸٪ و در کل مدت فعالیت راکتور برابر ۹۱/۴٪ بود. میانگین حذف COD و OLR در دوره بهره برداری ۹۷٪ و ۳/۱ gCOD/L.d بdst آمد. ماگزیم درصد حذف COD و PCE به ترتیب برابر ۹۹/۸٪ و ۳/۱ gCOD/L.d معادل OLR در دوره ۹۹/۸٪ بود.

بارگذاری PCE معادل ۳۷/۵ mgPCE/L.d در طی روزهای ۲۷۰-۲۳۱ اتفاق افتاد. قابل ذکر است در کل دوره فعالیت راکتور، COD پساب خروجی کمتر از ۱۰۰۰ mg/L بود. مقایسه بین راندمان حذف و بارگذاری آلی COD در دوره فعالیت راکتور در شکل ۲ نشان داده شده است.



شکل ۲. مقایسه بین راندمان حذف و بارگذاری آلی COD در دوره فعالیت راکتور AMBR

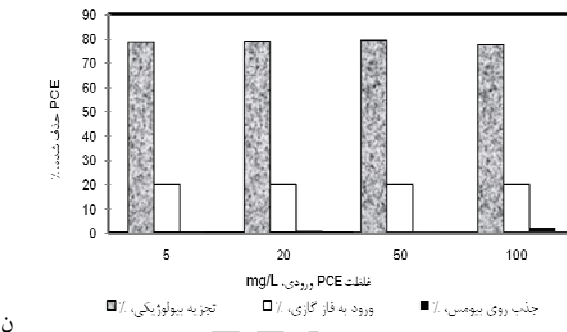
### آنالیز غلظت PCE موجود در فاز جامد و گازی

در این مطالعه به طور میانگین ۱۰/۷٪ از غلظت PCE ورودی به راکتور توسط بیومس جذب شد. میزان جذب شده روی بیومس در ۴ غلظت آن در جدول ۴ ارائه شده است.

جدول ۴. میزان PCE جذب شده روی بیومس در غلظت های مختلف ورودی PCE

PCE جذب شده روی بیومس (درصد)	غلظت PCE جذب شده روی بیومس (mg/L)	غلظت PCE ورودی (mg/L)
۰/۵۲	۰/۰۶	۵
۱/۰۵	۰/۲۱	۲۰
۰/۶۴	۰/۳۲	۵۰
۲/۱	۲/۱	۱۰۰

غلظت PCE در راکتور headspace  $18/9 \text{ mg/l}$  بdst آمد که حدوداً ۲۰٪ غلظت PCE ورودی بود. درصد حذف شده در کل راکتور با ۳ مکانیسم حذف از طریق تجزیه بیولوژیکی، ورود به فاز گازی و جذب روی بیومس در غلظت های مختلف PCE ورودی در نمودار ۳ نشان داده شده است.



نمودار ۳. مقایسه بین درصد PCE حذف شده با ۳ مکانیسم مختلف در غلظت های مختلف PCE ورودی

## بحث

اولیه در خصوص کلرزاوی احیایی PCE این نتیجه حاصل شده است که PCE به ندرت به VC که یک ترکیب سمی تر و فرارتر از سایر ترکیبات است تبدیل می‌شود (۴). بر خلاف سایر مطالعات (۴-۶) که همه ایزومرهای DCE در خروجی راکتور قابل شناسایی نبود در این مطالعه هر سه ایزومر DCE در خروجی شناسایی شد. با افزایش OLR و COD بارگذاری PCE در هر مرحله، راندمان حذف AMBR راکتور کمی داشته که این پایداری شرایط، توانایی بالای نوسانات کمی داشته که این پایداری شرایط، توانایی بالای راکتور AMBR در پذیرش شوک های آلتی و سمی را نشان می‌دهد. بوسیله راکتور AMBR این مطالعه، با غلظت PCE ورودی در محدوده ۵ تا  $100 \text{ mg/L}$  و

با افزودن  $5 \text{ mg/L}$  PCE به راکتور، اثر بازدارندگی خاصی بر عملکرد میکرووارگانیسم مشاهده نگردید چراکه با تزریق COD، PCE خروجی راکتور در ابتدا از  $90 \text{ mg/L}$  به  $333 \text{ mg/L}$  افزایش یافت اما با خوگرفتگی میکرووارگانیسم‌ها نسبت به این ترکیب، پس از گذشت ۲۰ روز میانگین حذف COD به  $96\%$  رسید. به دلیل اینکه غلظت VC در پساب خروجی راکتور قابل تشخیص نبود تعیین اینکه ایزومرهای DCE فرآورده نهایی کلرزاوی PCE هستند کار مشکلی می‌باشد. نتایج این بخش از مطالعه با نتایج برخی مطالعات انجام شده در خصوص تجزیه Zیستی PCE همخوانی دارد (۶ و ۱۱). در اکثر مطالعات

Dehalococcoides تنها گونه شناخته شده با قابلیت کلرزاوی کامل PCE به ترکیبات فاقد کلر است (۱۷) که در مصرف سوپستره با باکتریهای متان ساز رقابت می‌کنند. علت بالاتر بودن راندمان حذف PCE نسبت به COD، PCE غالباً شدن Dehalococcoides به باکتریهای متان ساز در مصرف سوپستره یکسان است. بیشترین درصد حذف COD در اولین محفظه راکتور اتفاق می‌افتد که با مطالعه "ترایان و همکاران" که از راکتور ABR در تصفیه پساب صنعتی رقیق استفاده شده بود همخوانی دارد (۱۵). کاهش غلظت COD در اولین محفظه، کاهش نرخ مصرف سوپستره توسط میکرووارگانیسم‌ها در محفظه‌های بعدی را به دنبال خواهد داشت که منجر به کاهش یافتن راندمان حذف COD در این محفظه‌ها خواهد شد (۱۸). در مقابل بیشترین درصد حذف PCE مربوط به آخرین محفظه است که دریافت کننده کمترین غلظت این ترکیب می‌باشد. در مطالعه "بایراکدار و همکاران" نیز راندمان حذف سولفات در اولین محفظه حداقل بود و بیشترین درصد حذف سولفات مربوط به آخرین محفظه راکتور ABR بود (۱۹). PCE ورودی به راکتور علاوه بر تجزیه بیولوژیکی با دو مکانیسم دیگر شامل ورود به فاز گازی ناشی از فراریت این ترکیب و جذب بر روی بیومس می‌تواند حذف شود (۴). غلظت PCE در headspace راکتور AMBR مورد مطالعه حدوداً ۲۰٪ غلظت PCE ورودی بود. این غلظت در مطالعات "پراکاش" حدوداً ۱/۵٪ و در مطالعه "هو" حدوداً ۱٪ غلظت PCE ورودی بود (۴ و ۳). در بیشتر مطالعات قبلی (۲-۶) غلظت PCE جذب شده روی بیومس مورد سنجش قرار نگرفته بود و به همین دلیل راندمان حذف دقیق محاسبه نشده بود. در این مطالعه ۱/۰۷٪ از کل PCE ورودی به راکتور توسط بیومس جذب شد که مقدار ناچیزی است. با توجه به ضریب تفکیک آب - اکتانول PCE به میزان ۲/۸۶، جذب درصد بسیار کمی از PCE روی بیومس قابل توجیه است. راندمان کلی حذف

HRT برابر ۳۲ ساعت، راندمان کلی حذف PCE برابر ۹۹/۹٪ بدست آمد. در مطالعه "هو"، با افزایش HRT از ۱ به ۴ روز راندمان حذف PCE از ۵۱±۵٪ به ۸۷±۳٪ رسید (۳). "پراکاش" با کاربرد راکتور UASB با HRT برابر ۸ تا ۲۴ ساعت و غلظت PCE برابر ۵ mg/L به راندمان حذف ۹۸/۵±۱٪ رسید (۴). راندمان حذف PCE در مطالعه "هیرل" در پایان سیکل ۲۴ ساعته به ۹۵٪ رسید (۵). در مطالعه "چو" نیز PCE با راندمان بالای ۹۸٪ حذف گردید (۶). در مطالعه "یو و همکاران" با روش ترکیب آهن پوردری و اجتماع باکتری‌های بیهوازی پس از گذشت ۲۵ روز حذف PCE تقریباً به طور کامل انجام شد و ۴۳٪ از آن به اتیلن و اتان تبدیل گردید (۷). میزان تجزیه بالای ۵۰٪ نتیجه تجزیه الکتروشیمیایی PCE در مطالعه "سائز" بود که ۶٪ از PCE ورودی در خروجی فرآیند باقی ماند و یون کلرور، تری کلرواتیلن و دی کلرواتیلن ترکیبات جانبی تولیدی بودند (۸). در مطالعه "جیمز و همکاران" غلظت PCE، TCE و cis-DCE در خروجی فرآیند به ترتیب ۰/۱۲، ۳/۹ و ۱/۹ mg/L بود (۹). در مقایسه راندمان حذف PCE در این مطالعه و مطالعات انجام شده با سایر راکتورها، راکتور AMBR این تحقیق نسبت به سایر راکتورها راندمان حذف بالاتر داشت. در راکتور AMBR، با حفظ بیومس در راکتور مستقل از سوپستره ورودی، SRT از HRT مستقل می‌شود. در حقیقت، این جداسازی باعث می‌شود میکرووارگانیسم‌های بیهوازی که دارای سرعت رشد پایینی هستند درون سیستم مستقل از جریان پساب باقی بمانند، بنابراین OLR و راندمان حذف بالاتری به دست می‌آید. افزایش توربولانس هیدرولیکی ناشی از اختلاط مکانیکی منجر به کاهش KS می‌شود و به این ترتیب راندمان حذف PCE در این مطالعه بالاتر از راندمان حذف COD بود. باکتریهایی با قابلیت کلرزاوی احیایی PCE شناسایی شده است (۱۶) که از میان آنها

مطالعات تکمیلی در مقیاس کامل و استفاده از پساب صنعتی واقعی آلوده به PCE یک روش ساده، کارآمد و قابل اطمینان برای تصفیه پسابهای صنعتی آلوده به این ترکیب می باشد. در پایان نیز با توجه به محدود بودن تعداد مطالعات انجام شده در خصوص عملکرد راکتور AMBR استفاده از این راکتور در HRT و دما و تعداد محفظه های مختلف به منظور تصفیه آلاینده ها و پساب های گوناگون پیشنهاد می گردد.

### تشکر و قدردانی

این تحقیق حاصل طرح مصوب دانشگاه علوم پزشکی اصفهان به شماره ۳۸۹۰۱۲ می باشد. لذا از همکاری و مساعدت معاونت محترم پژوهشی، گروه مهندسی بهداشت محیط و سایر افرادی که در انجام این تحقیق همکاری نموده اند صمیمانه سپاسگزاری می گردد.

PCE برابر ۵٪/۹۹ بود که با احتساب درصد PCE در فاز گازی و جامد، ۷۸٪ از PCE به روش بیولوژیکی حذف گردیده است. در مطالعه "هو" که راندمان حذف کلی در HRT ۱ و ۴ روز، به ترتیب  $51 \pm 5$  و  $87 \pm 3$ ٪ بود با احتساب PCE موجود در فاز گازی، راندمان حذف PCE به روش بیولوژیکی به  $38 \pm 7$  و  $76 \pm 4$ ٪ رسید (۳).

از محدودیت های مطالعه حاضر می توان به آنالیز غلظت PCE موجود در فاز جامد و گازی در کل راکتور به جای هر ۴ محفظه اشاره کرد. سنجش غلظت PCE موجود در فاز جامد و گازی به تفکیک ۴ محفظه و مقایسه آن با میزان تجزیه بیولوژیکی نتایج دقیقترا در خصوص میزان ورود آن به فاز جامد و گازی خواهد داد.

### نتیجه گیری

از مطالعه انجام شده می توان نتیجه گرفت که راکتور بیهودی با بستر سیال (AMBR)، در صورت انجام

### Reference

1. Ye L, Fei L, Honghan C, Jinhua S, Yufan W. Anaerobic biodegradation of tetrachloroethylene with acetic acid as cometabolism substrate under anaerobic condition. *Acta Geologica Sinica English Edition* 2008;82:911-6.
2. Eekert M, Astrid vR, Alfons JMS, Gosse Schraa, Field JA. Constitutive dechlorination of chlorinated ethenes by a methanol degrading methanogenic consortium. *Bioresource Technology* 2001;77:163-70.
3. Hwu CS, Lu C-J. Continuous dechlorination of tetrachloroethene in an upflow anaerobic sludge blanket reactor. *Biotechnology Letters* 2008;30:1589-93.
4. Prakash SM, Gupta SK. Biodegradation of tetrachloroethylene in upflow anaerobic sludge blanket reactor. *Bioresouce Technology* 2000;72:47-54.
5. Hirl PJ, Irvine RL. Reductive dechlorination of perchloroethylene using anaerobic sequencing batch biofilm reactors (AnSBBR). *Water Science and Technology* 1997;35:49-56.
6. Chu KH, Jewell WJ. Treatment of tetrachloroethylene with anaerobic attached film process. *Environmental Engineering* 1994;120:58-71.
7. Wu Y, Ma C. Remediation technology of ground water contaminated by perchloroethylene. *International Journal of Environment and Pollution* 2011;45:176-85.
8. Sáez V, Esclapez Vicente M, Frías-Ferrer ÁJ, Bonete P, González-García J. Electrochemical degradation of perchloroethylene in aqueous media: An approach to different strategies. *Water Research* 2009;43:2169-78.

9. Andrew James C, Xin G, Doty SL, Muiznieks I, Newman L, Strand SE. A mass balance study of the phytoremediation of perchloroethylene-contaminated groundwater. Environmental Pollution 2009;157:2564-9.
10. Tchobanoglous G, Burton FL, Stensel HD. Wastewater engineering: treatment and reuse: McGraw-Hill Science/Engineering/Math; 2003.
11. Cogley DR, Wechsler BA. Occurrence and treatability of priority pollutants in industrial laundry wastewater. Washington, D.C. : Institute of Industrial Launderers; 1978.
12. Eaton AD, Franson MAH. Standard methods for the examination of water & wastewater: Amer Public Health Assn; 2005
13. Wisniowska E, Janosz-Rajczyk M. Selected PAHs concentration changes under nitrate and sulphate reducing conditions. Desalination 2007;211:232-7.
14. Eller P. NIOSH manual of analytical methods. part II, Method No. 1003. Washington, DC: National Institute for Occupational Safety and Health, US Government Printing Office. 1994.
15. Torabian A, Abtahi SM, Amin MM, Momeni SA. Operation of an Anaerobic Baffled Reactor for Sulfate Removal of Amirkabir Industrial Estate Wastewater. WATER AND WASTEWATER. 2010;2:19-26.
16. Zhang C, Bennett GN. Biodegradation of xenobiotics by anaerobic bacteria. Applied Microbiology and Biotechnology 2005;67:600-18.
17. Fennell DE, Nijenhuis I, Wilson SF, Zinder SH, Häggblom MM. Dehalococcoides ethenogenes strain 195 reductively dechlorinates diverse chlorinated aromatic pollutants. Environmental Science and Technology 2004;38:2075-81.
18. Saritpongterakaa K, Chaiprapat S. Effect of pH adjustment by parawood ash and effluent recycle ratio on the performance of anaerobic baffled reactors treating high sulfate wastewater. Bioresource Technology 2008;99:8987-94.
19. Bayrakdar A, Sahinkaya E, Gungor M, Uyanik S, Atasoy AD. Performance of sulfidogenic anaerobic baffled reactor (ABR) treating acidic and zinc-containing wastewater. Bioresource Technology 2009;100:4354-60.